

บทที่ 3

การออสซิลเลตด้วยแรงกระทำ

ในบทที่ ๑ และ ๒ เราได้ศึกษาระบบต่างๆที่เป็นการเคลื่อนที่อย่างอิสระ ตั้งแต่ ๑,๒ ดีกรีของพรีคอมจนถึง n ดีกรีของพรีคอม และในตอนท้ายบทเราได้กล่าวถึงคลื่นนิ่งซึ่งคือ normal mode ในระบบมีมาแล้ว ในบทนี้เราจะพิจารณาเฉพาะระบบเหล่านั้นอีกครั้งหนึ่งแต่เป็นการศึกษาระบบที่มีการเคลื่อนที่ด้วยแรงภายนอกกระทำต่ออนุภาคเคลื่อนที่ในบางทิศทางโดยไม่ทำให้ลักษณะทั่วไปเปลี่ยนแปลง โดยเฉพาะอย่างยิ่งการออสซิลเลตแบบฮาร์โมนิกด้วยแรงภายนอก และศึกษาการตอบสนองของระบบเป็นฟังก์ชันของความถี่ด้วย

๓.๑ Damped Driven One-dimensional Harmonic Oscillator

เราได้เคยพิจารณากรณีของการเคลื่อนที่แบบฮาร์โมนิกอย่างง่ายมาแล้ว หลังจากนั้นทั้งหมดของระบบมีค่าคงที่เสมอและการซัดปรคตามเส้นโค้งโคไซน์ซึ่งปรากฏเป็นเช่นนี้ตลอดเวลา แต่ในทางปฏิบัติพลังงานบางครั้งมีการสูญเสียไปบ้างโดยการต้านหรือวิธีความหนืด ตัวอย่างเช่น อัมปลิจูด การแกว่งอย่างอิสระของลูกตุ้มจะลดลงตลอดเวลานั้นก็คือพลังงานได้สูญเสียไป การเกิดความต้านทานของการเคลื่อนที่หมายความว่ามีความถี่ขึ้นกระทำต่อระบบซึ่งมีค่าแปรตามความเร็วเหมือนกับแรงฮักจากสปริงที่พยายามกระทำในทิศตรงข้ามกับความเร่ง เรียกแรงนี้ว่าแรงเสียดทานมีค่าเป็น $-M\gamma\dot{x}(t)$ เมื่อ γ คือค่าคงที่ที่เราเรียกว่า damping constant per unit mass หรือเรียกง่าย ๆ ว่า damping constant พิจารณาจุดมวล M ออสซิลเลตในทิศทาง x การซัดปรคจากสมการของมันเป็นคือ $x(t)$ โดยปกติมวลจะมีแรงคืนกลับ $-M\omega_0^2 x(t)$ อันเนื่องมาจากสปริงของค่าคงที่สปริง $K = M\omega_0^2$ นั่นคือถ้าไม่มีแรงภายนอกอย่างอื่นมวลจะออสซิลเลตแบบฮาร์โมนิกตลอดไปเรื่อยๆด้วยความถี่เชิงมุม ω_0 เมื่อไม่พิจารณาแรงเสียดทาน เนื่องจากมีแรงเสียดทานและถ้าหากเราให้แรงภายนอกกระทำต่อระบบเป็นแบบฮาร์โมนิก $F(t)$ ดังนั้นจากกฎข้อที่ ๒ ของนิวตันจะได้สมการของการเคลื่อนที่เป็น

$$M\ddot{x}(t) = -M\omega_0^2 x(t) - M\gamma\dot{x}(t) + F(t) \quad (๓.๑)$$

สมการนี้เป็น inhomogeneous second-order linear differential equation

ในขั้นแรกเราจะพิจารณากรณีพิเศษเมื่อยังไม่มีแรงภายนอกเรียกว่า *Transient decay of free oscillations* จากสมการของการเคลื่อนที่ในสมการ (๓.๑) เปลี่ยนเป็น

$$\ddot{x}(t) + \Gamma \dot{x}(t) + \omega_0^2 x(t) = 0 \quad (๓.๒)$$

โดยกำหนดให้มีค่าตอบเป็น $x_1(t)$ อยู่ในแบบ

$$x_1(t) = e^{-(\frac{1}{2}\Gamma)t/\tau} \cos(\omega_1 t + \theta) \quad (๓.๓)$$

เมื่อ τ, ω_1 และ θ ต่างเป็นค่าที่ยังไม่ทราบ แทนค่า $x_1(t)$ ลงในสมการ (๓.๒) เราพบว่าสมการ (๓.๓) เป็นคำตอบของสมการ (๓.๒) อย่างแท้จริงสำหรับค่าใดๆของค่าคงที่ที่เฟสถ้าเราเลือกให้

$$\tau = \frac{1}{\Gamma} \quad (๓.๔)$$

และ
$$\omega_1^2 = \omega_0^2 - \frac{1}{4}\Gamma^2 \quad (๓.๕)$$

คำตอบทั่วไปของสมการ (๓.๒) เป็นการรวมกันโคจรของสองคำตอบที่ไม่ขึ้นแก่กันโดยตรงด้วยค่าคงที่ใดๆสองค่าซึ่งอาจจะเลือกให้สอดคล้องกับสภาวะการชดเชยเริ่มต้นและความเร็วเริ่มต้นคือ $x_1(0)$ และ $\dot{x}_1(0)$ ของคำตอบที่ไม่ขึ้นแก่กันสามารถหาได้โดยกำหนดให้มุมเฟส θ เท่ากับศูนย์หรือเท่ากับ $-\frac{1}{2}\Gamma\tau$ ดังนั้นคำตอบทั่วไปสามารถเขียนเป็นแบบ

$$x_1(t) = e^{-(\frac{1}{2}\Gamma)t/\tau} (A_1 \sin \omega_1 t + B_1 \cos \omega_1 t) \quad (๓.๖)$$

ค่าคงที่ A_1 และ B_1 เราสามารถหาได้ง่ายและมีค่ากำหนดเป็น $B_1 = x_1(0)$ และ $\omega_1 A_1 = \dot{x}_1(0) + \frac{1}{2}\Gamma x_1(0)$ ดังนั้นสมการ (๓.๖) กลายเป็น

$$(๓.๗) \quad x_1(t) = e^{-(\frac{1}{2}\Gamma)t/\tau} (x_1(0) \cos \omega_1 t + [\dot{x}_1(0) + \frac{1}{2}\Gamma x_1(0)] \frac{\sin \omega_1 t}{\omega_1})$$

ถ้า $\frac{1}{2}\Gamma$ มีค่าน้อยเมื่อเทียบกับ ω_0 การออสซิลเลชันจะเป็นแบบที่เรียกว่า *weakly damped* เมื่อ $\frac{1}{2}\Gamma$ มีค่าเท่ากับ ω_0 การเคลื่อนที่เป็นแบบที่เรียกว่า *critically damped* ในกรณีเช่นนี้

สมการ(๓.๕) ให้ค่า ω_1 เป็นศูนย์ และค่าคอมสมการ(๓.๕) เราแทนค่า $\cos\omega_1 t$ ด้วย ๑ และ $(1/\omega_1)\sin\omega_1 t$ เป็น t เพราะว่ามีลักษณะที่ ω_1 เข้าสู่ศูนย์ของ $(1/\omega_1)\sin\omega_1 t$ กลายเป็น t กรณีที่ระบบไม่มีการออสซิลเลตเพียงแต่ฮัมปิลิจูดมีค่าคงที่ศูนย์ เราสามารถเห็นได้จากค่าควม $x_1(t)$ ไม่ปรากฏมีพจน์ของความถี่ใดๆ เมื่อ ζ มีค่ามากกว่า ω_0 การออสซิลเลตเป็นแบบที่เรียกว่า *over damped* ในกรณีสมการ(๓.๕) ให้ค่า ω_1^2 เป็นค่าลบหมายความว่า ω_1 เป็นค่าจินตภาพ กำหนดด้วย

$$\omega_1 = \pm i|\omega_1|, \quad |\omega_1| = \zeta^2 - \omega_0^2 \quad (๓.๔)$$

ในพจน์ ๑ คือรากกำลังสองของ -1 ค่าคอมสมการ(๓.๕) ยังคงใช้ได้และสามารถเขียนเป็น

$$x_1(t) = e^{-(\zeta)\Gamma t} \left(x_1(0) \cosh|\omega_1|t + \dot{x}_1(0) + \zeta\Gamma x_1(0) \left| \frac{\sinh|\omega_1|t}{\omega_1} \right| \right) \quad (๓.๕)$$

ระบบนี้ไม่มีการออสซิลเลตและฮัมปิลิจูดมีค่าลดลงเร็วกว่ากรณี *critically damped* จากทั้งสามกรณีจะเห็นได้ว่า กรณีเมื่อ ζ มีค่าน้อยกว่า ω_0 ซึ่งการออสซิลเลตเรียกว่า *under damped* เป็นกรณีที่น่าสนใจมากกว่า เพราะเป็นกรณีที่มีการออสซิลเลตเกือบสม่ำเสมอ และเราอาจจะพิจารณาพจน์ รวมเอกซ์โปเนนเชียล $e^{-(\zeta)\Gamma t}$ มีค่าคงที่ระหว่างหนึ่งรอบโคจรของการออสซิลเลต ดังนั้นความเร็วของอนุภาคถูกกำหนดด้วยค่าประมาณของค่าอนุพันธ์กับเวลาของสมการ(๓.๖) โดยถือว่า $e^{-(\zeta)\Gamma t}$ มีค่าคงที่ จึงเป็นการง่ายที่จะพิสูจน์ว่าพลังงานรวม (พลังงานจลน์บวกพลังงานศักย์) เป็นค่าคงที่ในระหว่างหนึ่งรอบโคจร แต่มีค่าลดลงอย่างเอกซ์โปเนนเชียลตลอดระยะเวลาหลายรอบ

$$\begin{aligned} E(t) &= \frac{1}{2} M \dot{x}_1^2(t) + \frac{1}{2} M \omega_0^2 x_1^2(t) \\ &= E_0 e^{-\Gamma t} = E_0 e^{-t/\tau} \end{aligned} \quad (๓.๖๐)$$

$$\text{เมื่อ} \quad E_0 = \frac{1}{2} M (\omega_1^2 + \omega_0^2) (\frac{1}{2} A_1^2 + \frac{1}{2} B_1^2) \quad (๓.๖๑)$$

ต่อไปให้กลับไปที่กรณีอนุภาคถูกกระทำด้วยแรงเคลื่อนภายนอกที่ไม่เป็นศูนย์ของกรณี *under damped*

Steady-state oscillation under harmonic driving force

กำหนดให้แรงเคลื่อนภายนอกมีลักษณะเป็นส่วนย่อยของอนุกรมฟูเรียร์คือ

$$F(t) = F_0 \cos \omega t \quad (๓.๑๖)$$

ดังนั้นเราต้องพิจารณาสมการที่เป็น inhomogeneous มีแรงภายนอกเป็นส่วนหนึ่งของฮาร์โมนิก เขียนสมการของการเคลื่อนที่ได้เป็น

$$M\ddot{x}(t) + M\gamma\dot{x}(t) + M\omega_0^2 x(t) = F_0 \cos \omega t \quad (๓.๑๗)$$

คำตอบของสมการนี้เรียกว่า **steady-state solution** ซึ่งแสดงการเคลื่อนที่ของอนุภาค หลังจากมีแรงภายนอกกระทำต่อมันเป็นเวลานานกว่าเวลาการลดลง τ ดังนั้น **transient oscillations** (ซึ่งหมายถึงพฤติกรรมการอสซิลเลตของอนุภาคระหว่างช่วงเวลาการลดลงเฉื่อยสั้นๆ) หลังจากมีแรงเคลื่อนภายนอกกระทำต่อมัน จะลดลงจนหายไปเมื่อห่างจากศูนย์ หลังจากนั้นการอสซิลเลตของอนุภาคจะเข้าสู่ ฮาร์โมนิกที่มีความถี่ ω ความถี่เดียวกับแรงเคลื่อนภายนอก คำตอบของสมการ(๓.๑๗)นี้มีอัมพลิจูดแปรตามอัมพลิจูด F_0 ของแรงภายนอกและมีค่าคงที่เฟสซึ่งสัมพันธ์จำกักับค่าคงที่เฟสของแรงเคลื่อนภายนอก

Absorptive and elastic amplitude

แทนที่เราจะใช้พจน์ของอัมพลิจูดและค่าคงที่เฟสอธิบายการอสซิลเลตของระบบ เราสามารถอธิบายได้ด้วยพจน์ของสองอัมพลิจูด A และ B โดยกำหนดส่วนหนึ่งของการอสซิลเลตเป็น $A \sin \omega t$ ที่มีค่ามุมเฟสตรงข้ามกับแรงเคลื่อน $F_0 \cos \omega t$ อยู่ 90° องศา และอีกส่วนหนึ่งเป็น $B \cos \omega t$ ซึ่งมีค่ามุมเฟสตรงกับแรงเคลื่อน ดังนั้น **steady-state solution** เขียนเป็น

$$x_0(t) = A \sin \omega t + B \cos \omega t \quad (๓.๑๘)$$

ด้วยการเลือก A และ B ให้เหมาะสม แทนค่า $x_0(t)$ ลงในสมการ(๓.๑๗) สามารถหาค่า A และ B ได้คือ

$$A = \frac{F_0}{M} \frac{\Gamma \omega}{[(\omega_0^2 - \omega^2)^2 + \Gamma^2 \omega^2]} = A_{ab} \quad (n.9c)$$

$$B = \frac{F_0}{M} \frac{(\omega_0^2 - \omega^2)}{[(\omega_0^2 - \omega^2)^2 + \Gamma^2 \omega^2]} = A_{el} \quad (n.9b)$$

ค่าคงที่ A_{ab} เรียกว่า absorptive amplitude และ A_{el} เรียกว่า elastic amplitude (บางที elastic amplitude เรียกแทนเป็น dispersive amplitude) การที่เราเรียกชื่อค่าคงที่เป็นชื่อเหล่านี้ก็เพราะว่า การถูกกลืนกำลังเฉลี่ยตามเวลาที่ระบบได้รับเกือบทั้งหมด เกิดจากพจน์ $A_{ab} \sin \omega t$ ส่วนพจน์ $A_{el} \cos \omega t$ ให้การถูกกลืนกำลังขณะใดๆ $P(t)$ แต่ถ้าคิดเฉลี่ยตลอดหนึ่งรอบของการออสซิลเลต steady-state จะกลายเป็นศูนย์ ทั้งนี้เนื่องจากความจริงที่ว่า กำลังขณะใดๆ $P(t)$ คือแรง $F_0 \cos \omega t$ คูณด้วยความเร็ว $\dot{x}(t)$ ความเร็วขณะใดๆ มีส่วนหนึ่งที่เฟสตรงกับแรงและส่วนหนึ่งมีเฟสต่างกับแรง $\neq 0$ องศา ส่วนของความเร็วที่มีเฟสตรงกับแรงเท่านั้นให้กำลังเฉลี่ยตามเวลา ส่วนของความเร็วที่มีเฟสตรงกันนั้นมาจากส่วนของการซัดที่มีเฟสต่างกันคือ $A_{ab} \sin \omega t$ เราจะเห็นได้จากความสัมพันธ์ทางคณิตศาสตร์ดังนี้

$$F(t) = F_0 \cos \omega t$$

$$x_g(t) = A_{ab} \sin \omega t + A_{el} \cos \omega t$$

$$\dot{x}_g(t) = \omega A_{ab} \cos \omega t - \omega A_{el} \sin \omega t$$

ดังนั้น กำลังขณะใดๆที่ steady-state ให้แก่ระบบเป็น

$$P(t) = F(t) \dot{x}_g(t) = F_0 \cos \omega t [\omega A_{ab} \cos \omega t - \omega A_{el} \sin \omega t] \quad (n.10)$$

กำหนดการเฉลี่ยตามเวลาตลอดหนึ่งรอบด้วยเครื่องหมาย $\langle \rangle$ brackets เราหาได้ว่า

$$P = F_0 \omega A_{ab} \langle \cos^2 \omega t \rangle - F_0 \omega A_{el} \langle \cos \omega t \sin \omega t \rangle$$

แต่

$$\langle \cos^2 \omega t \rangle = \frac{1}{T} \int_{t_0}^{t_0+T} \cos^2 \omega t \, dt = \frac{1}{2} \quad (3.9c)$$

เมื่อ T คือคาบการออสซิลเลต ห่วงองเดียวกัน

$$\langle \cos \omega t \sin \omega t \rangle = \frac{1}{2} \langle \sin 2\omega t \rangle = 0 \quad (3.9d)$$

ดังนั้นเราจะได้กำลังเฉลี่ยตามเวลาตลอดหนึ่งรอบให้แก่ระบบที่ steady-state เป็น

$$P = \frac{1}{2} F_0 \omega A_{ab} \quad (3.10)$$

ในสมการ (3.10) จะเห็นได้ว่ากำลังเฉลี่ยตามเวลาที่ให้แก่ระบบแปรตามอิมพลูต A_{ab} เท่านั้น ที่ steady-state กำลังเฉลี่ยตามเวลาที่ให้แก่ระบบต้องเท่ากับกำลังเฉลี่ยตามเวลาที่เกิดจากความเสียดทาน แรงเสียดทานขณะใดๆ คือ $-M\dot{x}_g(t)$ กำลังเสียดทานขณะใดๆ คือแรงเสียดทานคู่กับความเร็วจึงนั่นกำลังเฉลี่ยตามเวลาที่สูญเสียไปเนื่องจากความเสียดทานกำหนดด้วย

$$\begin{aligned} P_{fr} &= M\langle \dot{x}_g^2 \rangle \\ &= \frac{1}{2} M \omega^2 [A_{ab}^2 + A_{el}^2] \end{aligned} \quad (3.11)$$

ซึ่งเราสามารถแสดงว่าความจริงสมการ (3.11) มีค่าเท่ากับ กำลังเฉลี่ยตามเวลาให้แก่ระบบ P ในสมการ (3.10) ที่ steady-state พลังงานสะสมอยู่ในอนุภาคไม่เป็นค่าคงที่อย่างแท้จริง เพราะว่ากำลังขณะใดๆ ที่ให้แก่ระบบ $P(t)\dot{x}_g(t)$ ตามสมการ (3.9c) ไม่เท่ากับกำลังที่สูญเสียไปขณะใดๆ $M\dot{x}_g^2(t)$ เพียงแค่มันจะมีค่าเท่ากันเมื่อเฉลี่ยตลอดหนึ่งรอบของทั้งกำลังที่ให้แก่ระบบและกำลังที่สูญเสียไปเนื่องจากความเสียดทาน เราจึงสนใจเฉพาะค่าเฉลี่ยของพลังงานสะสมเท่านั้น สำหรับ steady-state oscillation พลังงานเฉลี่ยสะสม E คือ

$$\begin{aligned} E &= \frac{1}{2} M \langle \dot{x}_g^2 \rangle + \frac{1}{2} k_0 \langle x_g^2 \rangle \\ &= \frac{1}{2} M (\omega^2 + \omega_0^2) (\frac{1}{2} A_{ab}^2 + \frac{1}{2} A_{el}^2) \end{aligned} \quad (3.12)$$

ให้สังเกตว่าพจน์ที่มี ω^2 คือพลังงานจลน์เฉลี่ยและพจน์ที่มี ω_0^2 คือพลังงานศักย์เฉลี่ย พลังงานทั้งสองจะเท่ากันถ้าเราให้ $\omega = \omega_0$ (อาจจะกล่าวได้ใหม่ว่า สำหรับกรณี weakly damped การสั่นอย่างอิสระพลังงานจลน์เฉลี่ยและพลังงานศักย์เฉลี่ยมีค่าเท่ากัน) หรือเราอาจจะเข้าใจได้อย่างที่ว่า ถ้า ω มีค่ามากเมื่อเทียบกับ ω_0 ความเร็วของมวลมีทิศกลับคืนก่อนที่มันจะมีการซึกมากหรือก่อนที่มันจะมีพลังงานศักย์สะสมในสปริงมาก ในทางตรงกันข้ามถ้า ω มีค่าน้อยเมื่อเทียบกับ ω_0 ความเร็วของมวลไม่มากนักและพลังงานศักย์เฉลี่ยมีค่ามากกว่า

อภินา (Resonance) ในขั้นต่อไปเรามาดูการเปลี่ยนแปลงอย่างค่อยเป็นค่อยไปของอนุภาคที่ออสซิลเลต โดยให้ความถี่ของแรงเคลื่อนเปลี่ยนไปทีละน้อยจนถึงความถี่หนึ่งมีช่วงเวลานานพอคึกกับเวลาการลดของเฉลี่ย τ และกำหนดความถี่ระยะเวลาที่แน่นอนคงที่เสมอจะทำให้เกิด steady-state ใค้อย่างสม่ำเสมอ ดังนั้นถ้าสังเกตความถี่เวลาทำให้แก่ระบบจะเป็น

$$P = P_0 \frac{\Gamma^2 \omega^2}{(\omega_0^2 - \omega^2)^2 + \Gamma^2 \omega^2} \quad (๓.๖๓)$$

เมื่อ P_0 คือค่าของ P ที่ขณะเกิดอภินาที่ $\omega = \omega_0$ ค่ามากที่สุดของ P เกิดที่อภินา จุกค่าดังครึ่งหนึ่ง (half-power point) กำหนดเป็นค่าของ ω สำหรับ P เป็นครึ่งหนึ่งของค่ามากที่สุดซึ่งค่าจุกค่าดังครึ่งหนึ่งเหล่านั้นกำหนดด้วย

$$\omega^2 = \omega_0^2 \pm \Gamma \omega \quad (๓.๖๔)$$

ซึ่งเท่ากับ
$$\omega = \sqrt{\omega_0^2 + \frac{1}{4}\Gamma^2} \pm \frac{1}{2}\Gamma \quad (๓.๖๕)$$

(ให้สังเกตว่าสมการ(๓.๖๔) แบ่งออกได้เป็นสองสมการ quadratic ใน ω แต่ละสมการมีคำตอบที่เป็นค่าบวกและค่าลบอยู่ด้วยกัน สำหรับสองคำตอบค่าบวกให้คำตอบตามสมการ(๓.๖๕)) ช่วงความถี่ระหว่างสองจุกค่าดังครึ่งหนึ่งเรียกว่า full-frequency width at half-maximum power หรือเรียกเป็น resonance full width เขียนเป็น $(\Delta\omega)_{fwhm}$ หรือเขียนย่อเป็น $\Delta\omega$ จากสมการ(๓.๖๕)

$$(\Delta\omega)_{fwhm} = \Gamma \quad (๓.๖๖)$$

เราเคยหาได้ว่า(ตามสมการ(๓.๔)) การออสซิลเลตอย่างอิสระมี mean decay lifetime τ กำหนดด้วย $\tau = 1/\Gamma$ ดังนั้นความสัมพันธ์ระหว่าง resonance full-width สำหรับ การออสซิลเลตด้วยแรงและเวลาการลดลงเฉลี่ยสำหรับการออสซิลเลตอย่างอิสระ คือ

$$(\Delta\omega)_{res} \tau_{free} = 1 \quad (๓.๒๗)$$

เขียนเป็นคำพูดได้ว่า ช่วงกว้างความถี่ของเส้นโค้งอินทิเกรตสำหรับการออสซิลเลตเป็นส่วนกลับ ของเวลาการลดลงสำหรับการออสซิลเลตอย่างอิสระ ผลอันนี้เป็นความจริงเสมอไม่ว่าจะเป็น ระบบของหนึ่งดีกรีหรือพหุคูณหรือหลายดีกรีหรือพหุคูณ ในกรณีของการออสซิลเลตอย่างอิสระ $\Gamma = 0$. การอินทิเกรตที่ความถี่ของ normal modes ω_0 ส่วนในกรณีของ damped free oscillation ความถี่อินทิเกรตที่ ω_1 เพราะว่าความถี่ถูกดึงจาก ω_0 ลดลงเหลือ ω_1 เนื่องจากมี damping factor $e^{-(\frac{1}{2})\Gamma t}$ ในกรณีของการออสซิลเลตด้วยแรงฮาร์มอนิกมีค่าคงที่และความถี่อินทิเกรตมีค่าเท่ากับความถี่ของการออสซิลเลตอย่างอิสระ ω_0 อีกครั้งถ้าไม่มี damping

สมการ(๓.๒๗) มีความสำคัญเป็นอย่างยิ่งสำหรับการทดลอง เพราะว่าเราจะสังเกตเห็นอาการอินทิเกรตของระบบได้ง่ายกว่าการสังเกตเวลาของอาการลดลงอย่างอิสระ ในกรณีเช่นนี้เราสามารถหาค่าเวลาการลดลงเฉลี่ยสำหรับการออสซิลเลตโดยศึกษาจากอาการอินทิเกรตเพื่อหาค่า $\Delta\omega$ ดังนั้นเวลาการลดลงเราหาได้จากสมการ(๓.๒๗)

Frequency dependence of elastic amplitude

พจน์ $A_{el} \cos \omega t$ ในสภาวะการออสซิลเลตไม่เปลี่ยนแปลงเป็นส่วนหนึ่งของ $x_g(t)$ ซึ่งมีมุมเฟสตรงกับแรงเคลื่อน $F_0 \cos \omega t$ ในการอธิบายฮาร์มอนิกครั้งแรกเราได้กล่าวถึงพจน์ elastic ไม่มีส่วนทำให้เกิดการสูญเสียพลังงานเฉลี่ยตามเวลาของระบบ และซึ่งกว่านั้นที่ ความถี่อินทิเกรต $\omega = \omega_0$, A_{el} มีค่าเป็นศูนย์ แต่นั่นไม่ได้หมายความว่า A_{el} ไม่มีความสำคัญ แต่อย่างไร ตรงกันข้ามที่ความถี่ห่างไกลจากอินทิเกรตพจน์ elastic มีความหมายได้เช่นกัน ถึงแม้ว่าจะเห็นได้จาก

$$A_{el} = \frac{F_0 (\omega_0^2 - \omega^2)}{(\omega_0^2 - \omega^2)^2 + \Gamma^2 \omega^2} \quad (๓.๒๘)$$

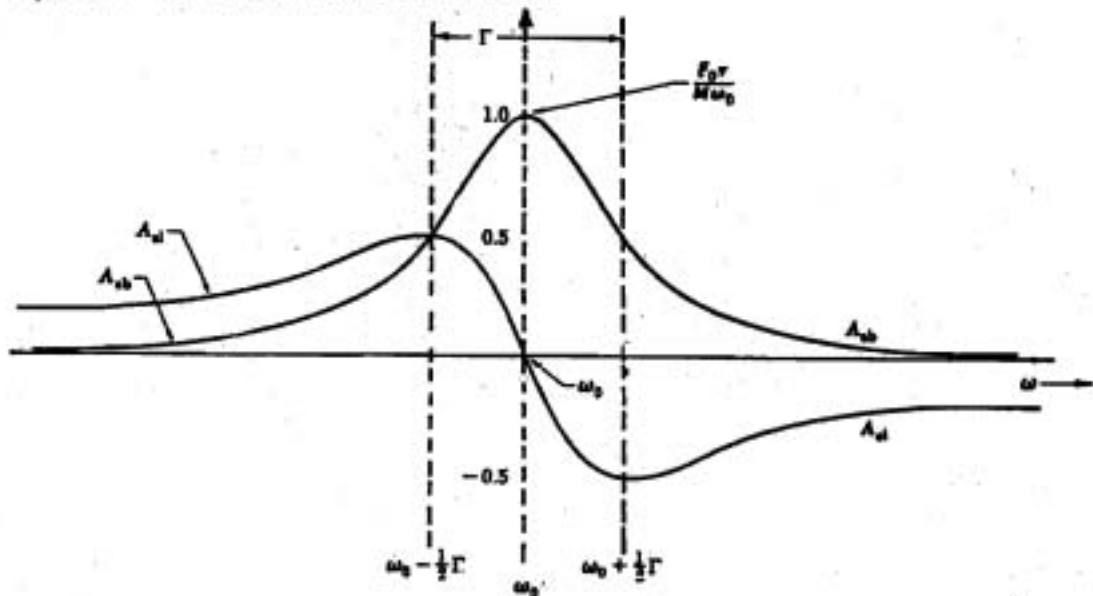
อัตราส่วนระหว่าง elastic กับ absorptive amplitude คือ

$$\frac{A_{el}}{A_{ab}} = \frac{\omega_0^2 - \omega^2}{\Gamma\omega} \quad (3.24)$$

สำหรับ ω มีค่าน้อยกว่า ω_0 พจน์ A_{el}/A_{ab} เป็นค่าบวกและสามารถทำให้มีค่ามากเท่าไรก็ได้ โดยเลือกให้ ω มีค่าเล็กๆให้เหมาะสม สำหรับ ω มีค่ามากกว่า ω_0 พจน์ A_{el}/A_{ab} เป็นค่าลบและสามารถทำให้มีขนาดมากเท่าไรก็ได้ โดยเลือกให้ ω เป็นค่าใหญ่ที่เหมาะสม จากทั้งสองกรณีเราได้ว่า $\Gamma\omega \ll |\omega_0^2 - \omega^2|$ และอาจจะละทิ้งส่วน $A_{ab} \sin\omega t$ จาก $x_g(t)$ โดยคิดว่ากำลังถูกสั่นเฉลี่ยที่ความถี่ห่างไกลจากอภินาหมีค่าน้อยเมื่อเทียบกับกำลังถูกสั่นเฉลี่ยที่อภินาห ดังนั้นที่ห่างไกลจากอภินาห steady-state solution ถูกกำหนดด้วย $A_{el} \cos\omega t$ และ A_{el} กำหนดด้วยสมการ (3.24) แต่ละทิ้งพจน์ $\omega^2 \Gamma^2$

$$x_g(t) = A_{el} \cos\omega t = \frac{F_0 \cos\omega t}{M(\omega_0^2 - \omega^2)} \quad (3.25)$$

ให้สังเกตว่า damping constant Γ ไม่ปรากฏในสมการ (3.25) นั่นคือสมการ (3.25) ให้คำตอบ steady-state อย่างแท้จริงแก่สมการของการเคลื่อนที่ (3.1) ถ้าเราให้ $\Gamma = 0$ ในสมการนั้น ในรูป 3.1 ได้แสดงความสัมพันธ์ของ absorptive และ elastic amplitude ที่ความถี่อภินาหและบริเวณข้างเคียง



Transient forced oscillations

โดยการกำหนดสภาวะเริ่มต้นใดๆ $x(0)$ และ $\dot{x}(0)$ เราสามารถหาค่าคงของสมการ (๓.๑๔) ใดซึ่งเป็นค่าคงทั่วไปที่เกิดจากการรวมกันใดของค่าคง steady-state $x_0(t)$ และค่าคงทั่วไป $x_1(t)$ ของสมการของการเคลื่อนที่แบบ homogeneous

$$x(t) = x_0(t) + x_1(t) \\ = A_{ab} \sin \omega t + A_{e1} \cos \omega t + e^{-(\frac{1}{2})\Gamma t} [A_1 \sin \omega_1 t + B_1 \cos \omega_1 t] \quad (๓.๓๑)$$

เมื่อ A_1 และ B_1 ต่างก็เป็นค่าคงที่ใดๆที่สามารถเลือกให้สอดคล้องกับสภาวะเริ่มต้นของการซึกและความเร็ว อองพิจารณาว่าค่าคงทั่วไปจากสภาวะเริ่มต้นโดยการกำหนดให้สภาวะเริ่มต้นอนุภาคไม่ใดถูกรบกวนแต่อย่างใด หมายความว่าเมื่อเวลา $t = 0$ อนุภาคนั้นอยู่ที่ตำแหน่งสมมูลยั้งนั้น เราเลือก $B_1 = -A_{e1}$ ซึ่งให้สภาวะเริ่มต้นเป็น $x(0) = 0$ คือไปเราเลือก A_1 เพื่อให้ความเร็วเริ่มต้น $\dot{x}(0)$ มีค่าเกือบเป็นศูนย์ เราเพียงสนใจเฉพาะกรณี weakly damped ดังนั้นเราสามารถให้ $e^{-(\frac{1}{2})\Gamma t}$ มีค่าเกือบคงที่ในระหว่างหนึ่งรอบของการออสซิลเลต จากการประมาณเช่นนี้ทำให้สามารถแสดงได้ว่า $\dot{x}(0) = \omega A_{ab} + \omega_1 A_1$ เมื่อความถี่ของแรงเคลื่อนไม่ห่างไกลจากอภินาพเท่าไรนัก เราสามารถเลือกให้ $A_1 = -A_{ab}$ หรือ

$$\dot{x}(0) = (\omega - \omega_1) A_{ab} \quad (๓.๓๒)$$

ซึ่งมีค่าเป็นศูนย์สำหรับ $\omega = \omega_1$ หรือ $A_{ab} = 0$ (หมายถึง $\Gamma = 0$) เมื่อเลือกคั้งนี้แล้วเราได้ $x(0) = 0$ และ $\dot{x}(0) = 0$ คั้งนั้นสมการ (๓.๓๑) กลายเป็น

$$x(t) = A_{ab} [\sin \omega t - e^{-\frac{1}{2}\Gamma t} \sin \omega_1 t] + A_{e1} [\cos \omega t - e^{-\frac{1}{2}\Gamma t} \cos \omega_1 t] \quad (๓.๓๓)$$

มี บางกรณีพิเศษที่น่าสนใจคั้งนี้

กรณีที่ • ความถี่ของแรงเคลื่อนเท่ากับความถี่การออสซิลเลตตามธรรมชาติ กำหนดให้ $\omega = \omega_1$ ในสมการ (๓.๓๓) เราได้

$$x(t) = (1 - e^{-(\frac{1}{2})\Gamma t}) (A_{ab} \sin \omega t + A_{e1} \cos \omega t) = (1 - e^{-(\frac{1}{2})\Gamma t}) x_0(t) \quad (n.nc)$$

เมื่อ $x_0(t)$ เป็นค่าคงที่ steady-state ดังนั้นถ้าเราให้ความถี่ของแรงเคลื่อนเท่ากับความถี่ การตอบสนองตามธรรมชาติ ω_1 เราได้ค่าคงที่เป็นแบบ steady-state ทั้งกันแรกเริ่มโดยมีอัมพลิจูดเพิ่มขึ้นอย่างสม่ำเสมอจากศูนย์จนถึงค่า steady-state สุดท้ายของมัน กรณีที่ ๒ ไม่มี damping

กำหนด $\Gamma = 0$ ทำให้ $A_{ab} = 0$ และ

$$A_{e1} = \frac{F_0/M}{(\omega_0^2 - \omega^2)}$$

ดังนั้นสมการ (๓.๓๓) ให้

$$x(t) = \frac{F_0}{M} \frac{(\cos \omega t - \cos \omega_0 t)}{(\omega_0^2 - \omega^2)} \quad (n.nc)$$

สมการ (๓.๓๔) นี้เข้าทำนองเกี่ยวกับการรวมกันโคไซน์ของสองคลื่นฮาร์โมนิกที่เราได้ศึกษาลักษณะอาการของบีตมาแล้วในตอน ๑.๕ หรือกล่าวได้ใหม่ว่า เราสามารถเขียน $x(t)$ เป็นการรวมกันโคไซน์ตรงของสองคลื่นฮาร์โมนิกอย่างแท้จริงทั้งในสมการ (๓.๓๔) เหมือนกับการตอบสนองเกือบเป็นฮาร์โมนิกที่ตอบสนองอย่างรวดเร็วด้วยความถี่เฉลี่ย $\omega_{av} = \frac{1}{2}(\omega_0 + \omega)$ และมีอัมพลิจูดเปลี่ยนแปลงอย่างช้าๆด้วยความถี่ผสม (modulation) $\omega_{mod} = \frac{1}{2}(\omega_0 - \omega)$ ดังนั้นค่าคงที่เปลี่ยนเป็น

$$x(t) = A_{mod}(t) \sin \omega_{av} t \quad (n.nb)$$

$$\text{เมื่อ} \quad A_{mod}(t) = \frac{F_0}{M} \frac{2 \sin \frac{1}{2}(\omega_0 - \omega)t}{(\omega_0^2 - \omega^2)} \quad (n.nf)$$

อัมพลิจูดของการตอบสนองจะขึ้นกับความถี่ผสม $\frac{1}{2}(\omega_0 - \omega)$ ตลอดเวลา หลังจากนั้นจะเกิดการเปลี่ยนแปลงอยู่ระหว่างค่าเฉลี่ยของมัน กล่าวคือมีค่าเริ่มต้นจากศูนย์เปลี่ยนแปลงไปจนถึงค่าสูงสุด E_0 ตามความสัมพันธ์

$$\begin{aligned} E(t) &= E_0 \sin^2 \frac{1}{2}(\omega_0 - \omega)t \\ &= \frac{1}{2} E_0 \{ 1 - \cos(\omega_0 - \omega)t \} \end{aligned} \quad (n.ng)$$

สมการ (๓.๓๘) มีความหมายว่า หลังงานของการออสซิลเลตมีการเปลี่ยนแปลงคลอเวลาด้วย
ความถี่บีตระหว่างความถี่แรงเคลื่อนและความถี่ของการออสซิลเลตตามธรรมชาติ
สำหรับกรณีพิเศษ $\omega = \omega_0$ จากสมการ (๓.๓๗)

$$\begin{aligned} A_{\text{mod}}(t) &= \frac{F_0}{M} \frac{2 \sin \frac{1}{2}(\omega_0 - \omega)t}{(\omega_0^2 - \omega^2)} \\ &= \frac{1}{2} \frac{F_0 t}{M \omega_0} \end{aligned}$$

กล่าวได้ว่าอิมพลีจของการออสซิลเลตมีค่าเพิ่มขึ้นคลอเวลาสัมพันธ์กับความของบีตอย่างไม่มีสิ้นสุด

$$x(t) = \left\{ \frac{1}{2} \frac{F_0 t}{M \omega_0} \right\} \sin \omega_0 t \quad (๓.๓๙)$$

เมื่อเวลาผ่านไปเป็นอนันต์อิมพลีจมีค่าเป็นอนันต์เช่นกัน

กรณีที่ ๓ Transient beats

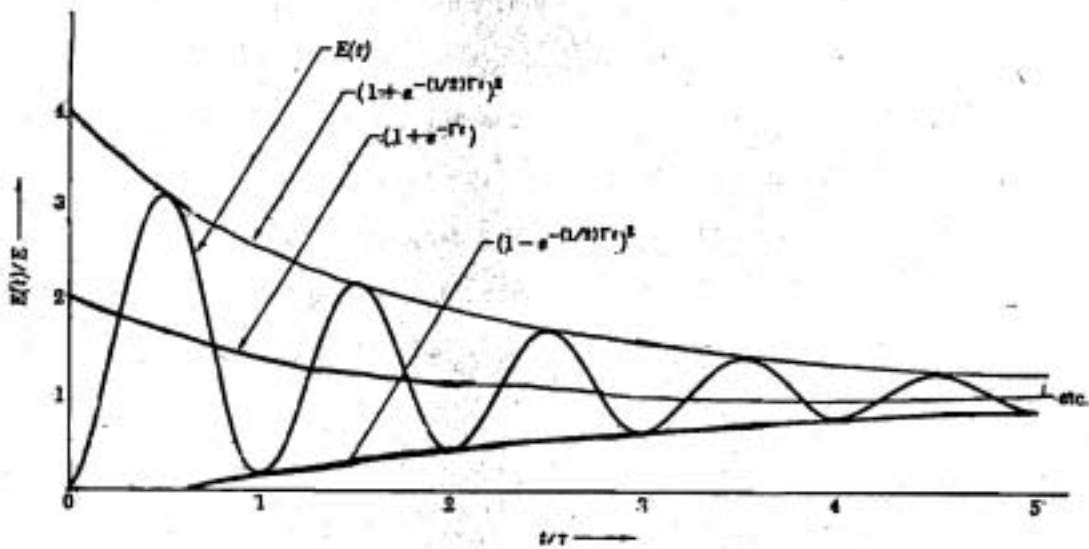
เป็นกรณีใกล้เคียงทั้งกรณี $\omega = \omega_1$ และ $\Gamma = 0$ โดยรวมทั้งสองกรณีไว้ด้วยกัน

สำหรับกรณี weakly damped และ $\omega = \omega_1$ เราอาจพิสูจน์ได้ไม่ยากนัก(แต่ยาวจนน่าเบื่อ)ว่า
พลังงานสะสมภายในอย่างประมาณเป็น

$$E(t) = E \left(1 + e^{-\Gamma t} - 2e^{-(\frac{1}{2})\Gamma t} \cos(\omega - \omega_1)t \right) \quad (๓.๔๐)$$

เมื่อ E เป็นพลังงานที่ steady-state (ถ้าให้ $\omega = \omega_1$ จะหาได้เป็นเช่นเดียวกับกรณีที่ ๑
และถ้าให้ $\Gamma = 0$ เราหาได้เป็นเช่นเดียวกับกรณีที่ ๒ ข้างต้น) ดังนั้นเราเห็นได้ว่า ถ้าเริ่ม
ต้น $t = 0$ ทำให้ $E(0) = 0$ แสดงว่าเวลาเริ่มต้นไม่มีพลังงานสะสมอยู่ในตัวออสซิลเลเตอร์
จึงไม่มีการออสซิลเลตจนกว่าจะมีแรงเคลื่อนเข้าไปซึ่งมีความถี่ ω พลังงาน $E(t)$ จึงเพิ่มขึ้น
จนถึง steady-state อย่างไม่สม่ำเสมอเนื่องจากพลังงานมีการเปลี่ยนแปลงตามความถี่บีต
 $\omega - \omega_1$ ทั้งนี้เพราะว่าตัวออสซิลเลเตอร์ชอบที่จะออสซิลเลตด้วยความถี่ตามธรรมชาติ ω_1 แต่
กลับถูกบังคับด้วยความถี่ ω ดังนั้น แรงเคลื่อนบางครั้งบดบังด้วยเฟสที่ช่วยให้มีอิมพลีจเพิ่มขึ้นเมื่อ

ถูกจังหวะ แต่บางครั้งยั่วยุเฟสต่างกันทำให้การตอบสนองเลทวารไปแบบเดียวกับลักษณะของ
 ปีกนั้นเอง ถ้าไม่มี damping โทจะเกิดติดต่อกันไปเรื่อยๆไม่สิ้นสุดเหมือนกรณีที่ ๒ แต่อย่างไร
 ก็ตามเนื่องจากมี damping ตัวออสซิลเลเตอร์จะค่อยปรับเฟสตัวเองจนในที่สุดมีเฟสตรงกับแรง
 เคลื่อน หลังจากออสซิลเลตเป็นเวลายาวเหมาะสมแล้วจะเข้าสู่สภาวะ steady-state ขึ้น
 โดยไม่มีปีกควายความถี่ ω และมีเฟสเป็นผลต่างระหว่างเฟสของตัวออสซิลเลเตอร์และของแรง
 เคลื่อน ในสภาวะนี้เองพลังงานที่ตัวออสซิลเลเตอร์ได้รับในหนึ่งรอบจากแรงเคลื่อนมีค่าเท่ากับ
 พลังงานที่สูญหายไปเนื่องจากความเสียดทานในหนึ่งรอบ ทำให้พลังงานสะสมในตัวออสซิลเลเตอร์
 มีค่าคงที่ และเฟสของตัวออสซิลเลเตอร์และแรงเคลื่อนยังคงที่ พลังงานเนื่องจาก
 transient beat ใกล้เคียงในรูป ๓.๖



ต่อไปพิจารณาขั้วปฏิกิริยาของการออสซิลเลตจากการศึกษา transient ของตัว
 ออสซิลเลเตอร์โดยการเปรียบเทียบขั้วปฏิกิริยาที่ steady-state จากการคาดคะเนและจากที่
 ได้ค่าคอมพิวเตอร์ที่ความถี่อื่นและความถี่อื่นๆ เราเริ่มต้นด้วยตัวออสซิลเลเตอร์หนึ่งและ
 ยั่วยุด้วยแรงเคลื่อนที่มีความถี่เท่ากับความถี่อื่นของมัน ถ้าไม่มี damping ขั้วปฏิกิริยาของการ
 ออสซิลเลตมีค่าเพิ่มขึ้นตามเวลา (ดูสมการ(๓.๓๔)) เมื่อตอนเริ่มต้นขั้วปฏิกิริยาที่มีค่าเพิ่มขึ้นใน

ระยะแรกๆ ความเร็วเฉลี่ยมีค่าน้อย *damping* สามารถละทิ้งได้ อย่างไรก็ตามเมื่อเวลาผ่านไปขึ้นอัมพลิจูดมีค่ามากทำให้ความเร็วมากขึ้นตาม *damping* คราวนี้ไม่สามารถละทิ้งเหมือนตอนแรกได้ เนื่องจากมี *damping* มันจึงรักษาระดับการเคลื่อนที่เหมือนเดิมไว้ภายในเวลา τ เท่านั้น ดังนั้นเราสามารถคาดคะเนอัมพลิจูดนี้ได้โดยคิดจากแรงเคลื่อนที่มากที่สุด F_0 กระทำในเวลา τ ทำให้มวลมีโมเมนตัมมากที่สุด $F_0 \tau$ แต่โมเมนตัมมากที่สุดตรงมวลของสวิตเชตคือ M คูณด้วยความเร็วมากที่สุดซึ่งคือ $\omega_0 A(\omega_0)$ ดังนั้น $F_0 \tau = M \omega_0 A(\omega_0)$ และเราได้ว่า

$$A(\omega_0) = \frac{F_0 \tau}{M \omega_0} \quad (๓.๔๑)$$

เป็นอัมพลิจูดที่ *steady-state* จากการคาดคะเนที่ $\omega = \omega_0$ ต่อไปปลั๊กตัวออสซิลเลเตอร์ด้วยความถี่ที่ห่างจากความถี่ธรรมชาติ ω_0 มากๆ ถ้าไม่มี *damping* อัมพลิจูดจะออสซิลเลตตลอดเวลาคับความถี่สม $\frac{1}{2}(\omega_0 - \omega)$ และพลังงานในตัวออสซิลเลเตอร์มีการเปลี่ยนแปลงตามความถี่ $\omega_0 - \omega$ เมื่อมี *damping* เข้าไปพลังงานสูญเสียไปเนื่องจาก *damping* มีค่าเป็นกำลังสองของความเร็ว ดังนั้นที่เวลานี้ถ้าพลังงานมีค่ามากที่สุดทำให้ *damping* มีค่ามากที่สุด เมื่อพลังงานเป็นศูนย์จะไม่มี *damping* ในลักษณะเช่นนี้จะพบว่า *damping* ทำให้ปลั๊กหายไป เราสามารถคาดคะเนได้ว่าขณะที่มีปลั๊กอยู่ อัมพลิจูดมีค่าเป็นครึ่งหนึ่งของอัมพลิจูดมากที่สุดครั้งแรก ดังนั้นเราแทน $\sin \frac{1}{2}(\omega_0 - \omega)$ ในสมการ (๓.๓๗) ด้วย $\frac{1}{2}$ สำหรับ ω ห่างไกลจาก ω_0 สมการ (๓.๓๗) กลายเป็น

$$A(\omega) = \frac{F_0}{M} \frac{1}{\omega_0^2 - \omega^2} \quad (๓.๔๒)$$

จากความแตกต่างนี้เราสามารถคาดคะเนได้ว่า $A(\omega)$ อัมพลิจูดกับค่าโมเมนตัมมากที่สุดที่สามารถหาได้โดยปลั๊กด้วยแรงมากที่สุด F_0 สำหรับปลั๊กส่วนที่แน่นอน τ ของหนึ่งคาบบิต โมเมนตัมนี้คือ $M \omega$ คูณอัมพลิจูด $A(\omega)$ คูณค่าเฉลี่ยความถี่เชิงมุม $\frac{1}{2}(\omega_0 + \omega)$ หนึ่งคาบบิต $\tau_{0.5}$ เท่ากับ $2\pi/(\omega_0 - \omega)$ ดังนั้นเราสามารถคาดคะเนได้ว่า

$$\frac{F_0 \tau}{(\omega_0 - \omega)} = M A(\omega) \frac{1}{2}(\omega_0 + \omega)$$

สมการนี้จะเท่ากับสมการ(๓.๘๖) ถ้าเราให้ค่า $f = \frac{1}{4r}$

เราดูจากค่าตอบว่าที่อธิบายอิมพีดึนซ์ของการขอสซิชันคือ $A_{ab}(\omega_0)$ เมื่อ A_{e1} มีค่าเป็นศูนย์ที่อธิบาย ความจริงอิมพีดึนซ์ที่เราคาดคะเนได้ $A(\omega_0)$ มีค่าเท่ากับ $A_{ab}(\omega_0)$ เราพิสูจน์ได้โดยเปรียบเทียบสมการ(๓.๘๖) และ(๓.๖๖) ผ่านของเดียวกันเรารู้ว่าที่ห่างไกลจากอธิบายมากๆ ค่าตอบจริงให้อิมพีดึนซ์ของการขอสซิชันคือ $A_{e1}(\omega)$ อิมพีดึนซ์ที่เราคาดคะเนได้ $A(\omega)$ สำหรับ ω ห่างไกลจาก ω_0 มีค่าเท่ากับ $A_{e1}(\omega)$ ซึ่งเราสามารถพิสูจน์ได้โดยเปรียบเทียบจากสมการ(๓.๘๖) และ(๓.๖๖)

๓.๖ การอธิบายในระบบสองคิกรีออฟฟริกอม

ในบทที่ ๑ เราพบว่าแต่ละ mode ของระบบขอสซิชันเลทอย่างอิสระที่มีคิกรีออฟฟริกอมมากกว่าหนึ่งมีอาการเหมือนกับเป็นฮาร์โมนิกอย่างง่าย และเราใส่ทั้ง damping ในการศึกษา modes เหล่านั้น เมื่อเรานำ damping เข้ามาคิดด้วยจะพบว่าแต่ละ mode ก็จะมีเหมือนกับ damp one-dimensional oscillator ดังนั้นแต่ละ mode จะมีลักษณะอาการขอสซิชัน และมี damping constant Γ เป็นของตัวเอง ทำให้มีลักษณะ decay time τ เป็นของตัวเองด้วย สำหรับบางระบบลักษณะการเกิด damping อาจจะมีสัมพันธ์กับมวลเคลื่อนที่ตัวใดตัวหนึ่ง ทำให้ mode ทั้งหมดอาจจะมี damping constant และ decay times เท่ากันได้ ถึงแม้ว่าค่าของระบบสองลูกตุ้มเหมือนควบคู่กันด้วยสปริงเบา เมื่อลูกตุ้มทั้งสองต่างถูกทำให้เคลื่อนที่เท่ากันในแต่ละ mode ดังนั้น mode ทั้งสองจะมี decay time เท่ากัน สำหรับระบบอื่นๆการเกิด damping สัมพันธ์กับ modes ตัวอย่างเช่น ถ้าสปริงที่ควบคู่กันลูกตุ้มทั้งสองมีเพียบบางปะติดอยู่ ทำให้ขณะที่สปริงถูกกดหรือยืคออกเกิดมี frictional damping ถ้าหากว่าเกิด damping เพียงข้างเดียว ดังนั้น mode 2 (คือ mode ที่สปริงถูกยืคหรือกด) มี damping constant มากกว่า mode 1 นั่นคือ $\Gamma_2 \gg \Gamma_1$ และทำให้ mode 2 มีเวลาการลดลงสั้นกว่า mode 1 ด้วย $\tau_2 \ll \tau_1$ เมื่อทำให้ระบบมีหลาย modes เราพบว่าอธิบายจะเกิดเมื่อความถี่ของแรงเคลื่อนใกล้เคียงกับความถี่ mode และผลปรากฏว่า absorptive และ elastic amplitude ของมวลเคลื่อนที่ตัวหนึ่งตัวใดก็มีส่วนที่เกิดจากการรวมกันได้ของอิมพีดึนซ์ของอธิบายแต่ละครั้ง

ถ้าเราเปลี่ยนความถี่ของแรงเคลื่อนอย่างช้าๆ และเขียนเส้นโค้งของอัตราการดูดกลืนพลังงานจากมวลเคลื่อนที่เป็นฟังก์ชันของความถี่แรงเคลื่อน ω เราพบว่าเกิดอภินาตแต่ละครั้ง ω จะมีค่าใกล้เคียงกับความถี่ mode และช่วงกว้างความถี่ถูกกำหนดด้วย

$$\Delta\omega = \Gamma = \frac{1}{\tau}$$

เมื่อ $\Delta\omega$ คือช่วงกว้างความถี่ที่จุดกึ่งกลางของการดูดกลืนกำลังมากที่สุด และ Γ และ τ คือ damping constant และเวลาการสลายสำหรับการออสซิลเลตอย่างอิสระของ mode ใดๆ ตัวอย่าง การออสซิลเลตด้วยแรงของระบบสองลูกตุ้มควบคู่

ดูระบบไคคามรูป ๓.๓ สมมติให้ a และ b มีมวล M เท่ากัน สปริงที่ใช้ควบคู่กับลูกตุ้มเป็นแบบสปริงคู่ และกำหนดให้แต่ละลูกตุ้มมี damping constant Γ เท่ากัน สมการของการเคลื่อนที่สามารถเขียนได้ง่ายดังนี้

$$M\ddot{\psi}_a = -\frac{Mg}{l}\psi_a - K(\psi_a - \psi_b) - M\Gamma\dot{\psi}_a + F_0\cos\omega t \quad (๓.๔๓)$$

$$M\ddot{\psi}_b = -\frac{Mg}{l}\psi_b - K(\psi_a - \psi_b) - M\Gamma\dot{\psi}_b \quad (๓.๔๔)$$

เราได้เคยศึกษาการออสซิลเลตอย่างอิสระของระบบนี้มาแล้วเมื่อตอนไม่มี damping ดังนั้นเราได้ว่า ถ้า F_0 และ Γ ต่างก็เป็นศูนย์จะมี mode เป็น

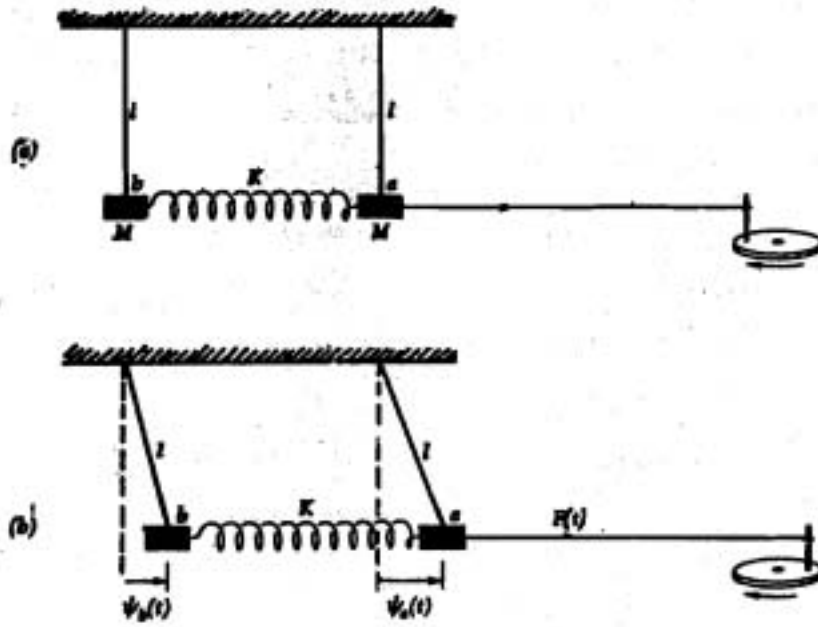
$$\text{Mode 1 : } \psi_a = \psi_b \quad \omega_1^2 = \frac{g}{l} \quad \psi_1 = \frac{1}{2}(\psi_a + \psi_b) \quad (๓.๔๕)$$

$$\text{Mode 2 : } \psi_a = -\psi_b \quad \omega_2^2 = \frac{g}{l} + \frac{2K}{M} \quad \psi_2 = \frac{1}{2}(\psi_a - \psi_b) \quad (๓.๔๖)$$

ในที่นี้ ψ_1 และ ψ_2 เป็น normal coordinates

ในทำนองเดียวกันเราสามารถหา normal coordinates ψ_1 และ ψ_2 ของสมการ (๓.๔๓) และ (๓.๔๔) ได้โดยบวกสมการ (๓.๔๓) และ (๓.๔๔) เข้าด้วยกัน เราได้

$$M\ddot{\psi}_1 = -\frac{Mg}{l}\psi_1 - M\Gamma\dot{\psi}_1 + \frac{1}{2}F_0\cos\omega t \quad (๓.๔๗)$$



รูป ๓.๓ การเคลื่อนที่ของระบบลูกตุ้มควบคู่

(a) ขณะหยุดนิ่ง

(b) การเคลื่อนที่

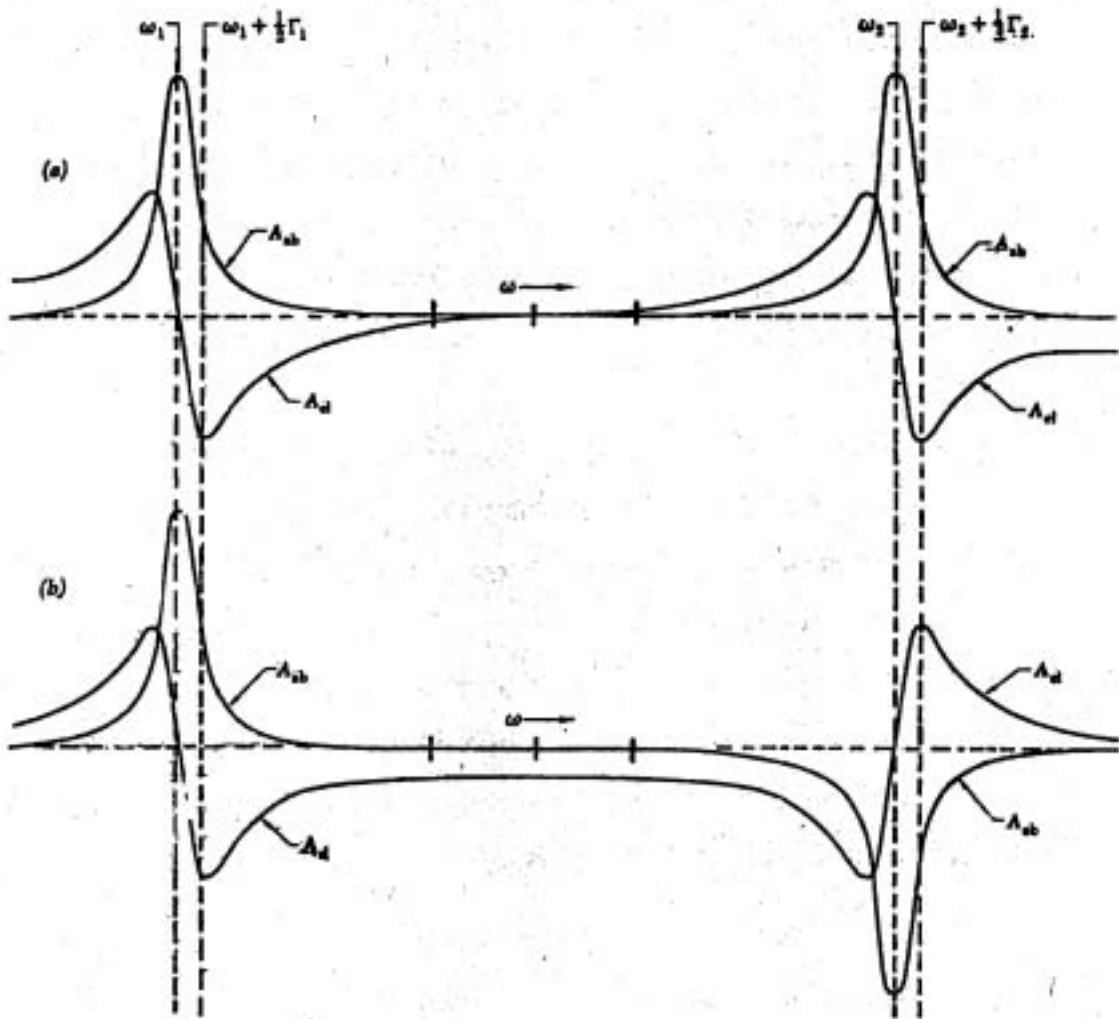
และโดยสมการ (๓.๔๓) คิวสมการ (๓.๔๔) เราได้

$$M\ddot{\phi}_2 = -K\left(\frac{L}{2} + \frac{2K}{M}\right)\phi_2 - M\dot{\phi}_2 + \frac{1}{2}F_0 \cos \omega t \quad (๓.๔๔)$$

ให้สังเกตว่าสมการ (๓.๔๓) และ (๓.๔๔) ไม่เป็นสมการควบคู่กัน และเมื่อนำไปเปรียบเทียบกับสมการ (๓.๑) เราจะเห็นได้ว่าสมการ (๓.๔๓) และ (๓.๔๔) ต่างมีรูปแบบเป็น driven damped harmonic oscillator ที่พอเหมาะ ดังนั้น normal coordinate ϕ_1 ประพฤติเหมือนกับเป็นการออสซิลเลตแบบฮาร์โมนิกอย่างง่ายที่มีมวล M ค่าคงที่สปริง $M\omega_1^2$, damping constant Γ และมีแรงเคลื่อนเป็น $\frac{1}{2}F_0 \cos \omega t$ และ normal coordinate ϕ_2 ประพฤติในทำนองเดียวกันด้วย มวล M ค่าคงที่สปริง $M\omega_2^2$, damping constant Γ และมีแรงเคลื่อน $\frac{1}{2}F_0 \cos \omega t$ การออสซิลเลตทั้งสองต่างไม่ขึ้นต่อกัน ดังนั้นเราสามารถเขียนคำตอบที่สถานะไม่เปลี่ยนแปลงสำหรับ ϕ_1 และ ϕ_2 แยกออกจากกันได้ โดยเมื่อแต่ละ mode กระทำตัวเหมือนกับ one-dimensional forced oscillator ดังนั้นแต่ละ mode จะมี absorptive amplitude และ elastic amplitude เป็นของตัวเอง และมีความถี่ธรรมชาติสัมพันธ์กับความถี่ mode เช่นเดียวกับการออสซิลเลตใน ระบบการออสซิลเลตหนึ่งมิติ คือไปให้มาพิจารณาการเคลื่อนที่ของสองลูกตุ้ม a และ b เนื่องจากสมการ (๓.๔๔) และ (๓.๔๖) เราได้

$$\psi_a = \psi_1 + \psi_2 \quad \text{และ} \quad \psi_b = \psi_1 - \psi_2 \quad (๓.๔๕)$$

ดังนั้น absorptive amplitude ของลูกตุ้ม a จะเป็นผลรวมของ absorptive amplitude ที่มาจากทั้งสอง modes ส่วน absorptive amplitude ของลูกตุ้ม b จะเป็นผลต่างของ absorptive amplitude ของสอง modes ทำนองเดียวกัน elastic amplitude ของลูกตุ้ม a เป็นผลรวมของ elastic amplitude ที่ได้จาก modes ทั้งสอง และส่วนของลูกตุ้ม b เป็นส่วนผลต่างของ modes ทั้งสองด้วย เมื่อความถี่แรงเคลื่อนเท่ากับความถี่ mode หนึ่ง mode ใ้ทำให้การเคลื่อนที่ของ a และ b เป็นไปคาบสลับของ mode นั้น (สำหรับการออสซิลเลตอย่างอิสระ)



รูป ก.๔ แสดงการเกิดคลื่นพลาสมาในระบบของไดโพลไฟฟ้า plot ของ A_{ab} absorptive และ A_d dispersive กับ ความถี่

๓.๓ การตอบสนองเชิงควมของระบบมีหลายตัวหรือสหริคต

ในตอนนี้เราจะศึกษาลักษณะอาการของระบบลูกตุ้มความถี่กันด้วยสปริงหลายตัวเป็นเส้นตรงยาว ถ้าเราให้แรงเคลื่อนแก่ระบบและแปรค่าความถี่แรงเคลื่อนอย่างช้าๆพอที่จะเป็น steady-state ตลอดเวลาเราจะได้อธิบายพื้นที่เมื่อความถี่แรงเคลื่อนเข้าใกล้ความถี่ mode เช่นเดียวกับระบบสองตัวหรือสหริคตที่เราได้ศึกษาแล้ว และเราพบว่าที่ steady-state อัมพลิจูดของแต่ละลูกตุ้มเป็นการรวมกันโคจรของส่วนที่มาจากแต่ละ mode ทั่วไปเรามาพิจารณา ระบบอยู่ในสภาวะไม่เปลี่ยนแปลงภายใต้แรงเคลื่อนที่มีความถี่ ω ใดๆ ชั้นแรกเราจะไม่กำหนดสภาวะขอบเขต และไม่กำหนดว่ามีแรงเคลื่อนกระทำต่อลูกตุ้มตรงตัวไหนบ้าง การกระทำเช่นนี้ทำให้สมการของการเคลื่อนที่ของลูกตุ้มหนึ่งลูกตุ้มใดๆจะไม่มีแรงเคลื่อนปรากฏอยู่ ทำให้เราสามารถหาคำตอบทั่วไปสำหรับการเคลื่อนที่ของลูกตุ้มใดๆได้

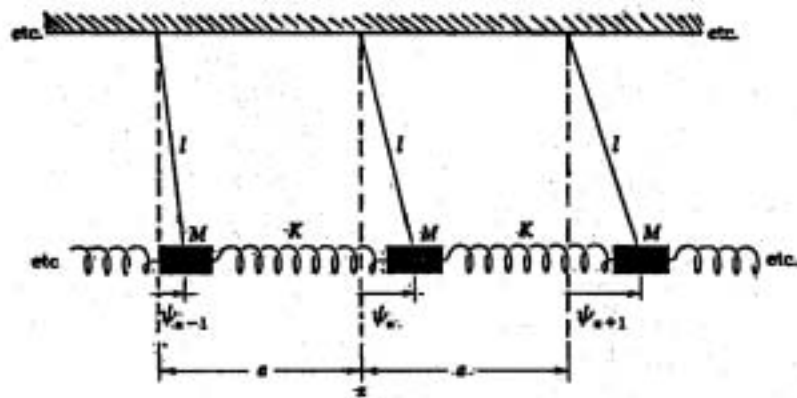
ถ้าเรากำหนดให้ $\Gamma = 0$ ในสมการของการเคลื่อนที่ เราจะพบว่าขณะที่ ω ยังห่างไกลจากอิมิตาพมาก การรบกวนของแต่ละลูกตุ้มเป็นการรวมกันโคจรของส่วนที่เป็น elastic เพียงอย่างเดียวของแต่ละ mode แต่ absorptive amplitude ไม่มีส่วนเกี่ยวข้องกับสิ่งนี้ เพราะว่า absorptive amplitude หายไปอย่างรวดเร็ว แต่ elastic amplitude ยังคงซำกว่าขณะที่ความถี่เปลี่ยนแปลง เราอยู่ได้แล้วว่าถ้าหากไม่มี damping จริงๆแล้วระบบจะไม่มีโอกาสเป็นสภาวะไม่เปลี่ยนแปลง แต่มันจะแสดงลักษณะมีคติดก้องกันไปอย่างสม่ำเสมอ ดังนั้นเรายังคงสมมติว่ามี damping แต่ไปกำหนดให้ $\Gamma = 0$ แทน และพยายามหลีกเลี่ยงอธิบายลักษณะอาการของมันเมื่อ ω เข้าใกล้อิมิตาพ (ซึ่งเรารู้ลักษณะอาการของระบบแล้วในตอนที่ ๓.๒)

ตัวอย่าง ๒ ระบบลูกตุ้มความถี่

พิจารณาลูกตุ้มใดๆสามจุดที่ความถี่กันในระบบลูกตุ้มหลายตัวความถี่กันด้วยสปริงเป็นจุดยาวๆ (linear array) โดยไม่เจาะจงเป็นจุดหนึ่งจุดใด และไม่กำหนดสภาวะขอบเขตทั้งโคจรแสดงไว้ในรูป ๓.๔ สมการของการเคลื่อนที่สำหรับการรบกวน $\psi_n(t)$ ของลูกตุ้มตัวที่ n ใดๆคือ

$$M\ddot{\psi}_n = -M\omega_0^2\psi_n + K(\psi_{n+1} - \psi_n) - K(\psi_n - \psi_{n-1}) \quad (๓.๕๐)$$

เมื่อ $\omega_0^2 = \frac{g}{l}$



รูป ก.๔ แสดงระบบลูกตุ้มความถี่ความไม่มีสภาวะขอบเขต

ก่อนที่เราจะหาคำตอบที่แท้จริงของสมการ (๓.๕๐) เราต้องศึกษาคำตอบของมันโดยใช้การประมาณแบบต่อเนื่อง (continuous approximation)

การประมาณแบบต่อเนื่อง

เราสมมติว่า $\psi_n(t)$ มีค่าเปลี่ยนแปลงเล็กน้อยเมื่อ n มีค่าเพิ่มขึ้น หมายความว่าลูกตุ้มทั้งหมดที่อยู่ใกล้บริเวณของลูกตุ้ม n ซึ่งมีตำแหน่งสมมูลที่ x มีการเคลื่อนที่เป็นเช่นเดียวกับลูกตุ้ม n ดังนั้นการเคลื่อนที่ของลูกตุ้ม n ที่ x เราสามารถอธิบายได้ด้วยฟังก์ชันต่อเนื่อง $\psi(x,t)$ กระจายพจน์ต่างๆในสมการ (๓.๕๐) แบบอนุกรมเทอเลอร์ดังนี้

$$\psi_n(t) = \psi(x,t)$$

$$\psi_{n+1}(t) = \psi(x+a, t) = \psi(x,t) + a \frac{\partial \psi(x,t)}{\partial x} + \frac{1}{2} a^2 \frac{\partial^2 \psi(x,t)}{\partial x^2} + \dots$$

$$\psi_{n-1}(t) = \psi(x-a, t) = \psi(x,t) - a \frac{\partial \psi(x,t)}{\partial x} + \frac{1}{2} a^2 \frac{\partial^2 \psi(x,t)}{\partial x^2} + \dots$$

ดังนั้น
$$\psi_{n+1} - \psi_n = a \frac{\partial \psi}{\partial x} + \frac{1}{2} a^2 \frac{\partial^2 \psi}{\partial x^2} + \dots$$

$$\psi_n - \psi_{n-1} = a \frac{\partial \psi}{\partial x} - \frac{1}{2} a^2 \frac{\partial^2 \psi}{\partial x^2} + \dots$$

แทนค่าสมการเหล่านี้ (รวมทั้งแทน $\psi_n(t) = \partial^2 \psi(x,t) / \partial t^2$) ในสมการ (๓.๕๐) เราได้

$$\frac{\partial^2 \psi(x,t)}{\partial t^2} = -\omega_0^2 \psi(x,t) + \frac{Ka^2}{H} \frac{\partial^2 \psi(x,t)}{\partial x^2} \quad (๓.๕๑)$$

สมการ (๓.๕๑) เรียกว่า Klein-Gordon wave equation สมการนี้ต่างจาก classical wave equation แต่จะเท่ากันได้ถ้าหากว่า ω_0 เป็นศูนย์

เราสมมติว่าลูกตุ้มทุกตัวเคลื่อนที่อยู่ในสภาวะไม่เปลี่ยนแปลง ออสซิลเลตด้วย ความถี่แรงเคลื่อน ω ซึ่งไม่ได้ทำให้มี work done เพิ่มขึ้น และลูกตุ้มทุกตัวมีค่าคงที่เฟส เท่ากัน ดังนั้น

$$\psi(x, t) = A(x) \cos(\omega t + \phi) \quad (3.52)$$

$$\frac{\partial^2 \psi(x, t)}{\partial t^2} = -\omega^2 A(x) \cos(\omega t + \phi) \quad (3.53)$$

$$\frac{\partial^2 \psi(x, t)}{\partial x^2} = \frac{d^2 A(x)}{dx^2} \cos(\omega t + \phi) \quad (3.54)$$

แทนค่าสมการ (3.52), (3.53) และ (3.54) ลงในสมการ (3.51) และตัดฟังก์ชันพหุคูณ
เหมือน $\cos(\omega t + \phi)$ เราได้สมการอนุพันธ์ของจุดศูนย์กลางที่ถูกต้องแรงเคลื่อนกระทำด้วยความ
ถี่ ω ที่สภาวะไม่เปลี่ยนแปลงคือ

$$\frac{d^2 A(x)}{dx^2} = \frac{M}{K a^2} (\omega_0^2 - \omega^2) A(x) \quad (3.55)$$

รากของสมการ (3.55) มีค่าแตกต่างกันสองกรณีคือ $\omega^2 > \omega_0^2$ และ $\omega^2 < \omega_0^2$
เมื่อ ω^2 มีค่ามากกว่า ω_0^2 เราได้คลื่นเป็นคลื่นรูปไซน์แบบเดียวกับที่เราได้ศึกษาตอน 3.2
มาก่อนสำหรับเส้นอวกาศต่อเนื่อง เมื่อ ω^2 มีค่าน้อยกว่า ω_0^2 ได้คลื่นเป็นแบบ exponential
 $\omega^2 > \omega_0^2$: คลื่นรูปไซน์ สมการ (3.55) มีลักษณะเป็น

$$\frac{d^2 A(x)}{dx^2} = -k^2 A(x) \quad (3.56)$$

เมื่อ k^2 เป็นค่าคงที่บวก

$$k^2 = (\omega^2 - \omega_0^2) \frac{M}{K a^2} \quad (3.57)$$

สมการ (3.56) แสดงความสัมพันธ์การกระจายของคลื่นที่มีค่า $\omega^2 > \omega_0^2$ ส่วนสมการ (3.57)
ให้รากของสมการทั่วไปคือ

$$A(x) = A \sin kx + B \cos kx \quad (3.58)$$

ทั้ง A และ B เป็นค่าคงที่หาได้จากสภาวะขอบเขต คลื่นที่เกิดขึ้นยังมีความยาวคลื่นที่แน่นอน
สัมพันธ์กับกัมมันตภาพ และความถี่กัมมันตภาพก็คือความถี่ mode นั้นเอง

$\omega^2 < \omega_0^2$. คลื่นแบบเอกซโปเนนเชียล ถ้า ω^2 มีค่าน้อยกว่า ω_0^2 เรากำหนดค่าคงที่ κ (kappa)

$$\kappa^2 = (\omega_0^2 - \omega^2) \frac{M}{Ka^2} \quad (n.6d)$$

ซึ่งเป็นสมการแสดงความสัมพันธ์การกระจายสำหรับคลื่นที่มีค่า $\omega^2 < \omega_0^2$ ดังนั้นสมการ (n.6c) มีลักษณะเป็น

$$\frac{d^2 A(z)}{dz^2} = \kappa^2 A(z) \quad (n.6e)$$

รากของสมการ (n.6e) เป็นการรวมกันโคไซน์ของสองฟังก์ชันเอกซโปเนนเชียล

$$A(z) = A e^{-\kappa z} + B e^{+\kappa z} \quad (n.6f)$$

เพื่อเป็นการยืนยันว่าสมการ (n.6e) เป็นรากสมการโดยหาอนุพันธ์ของมันเทียบกับ z

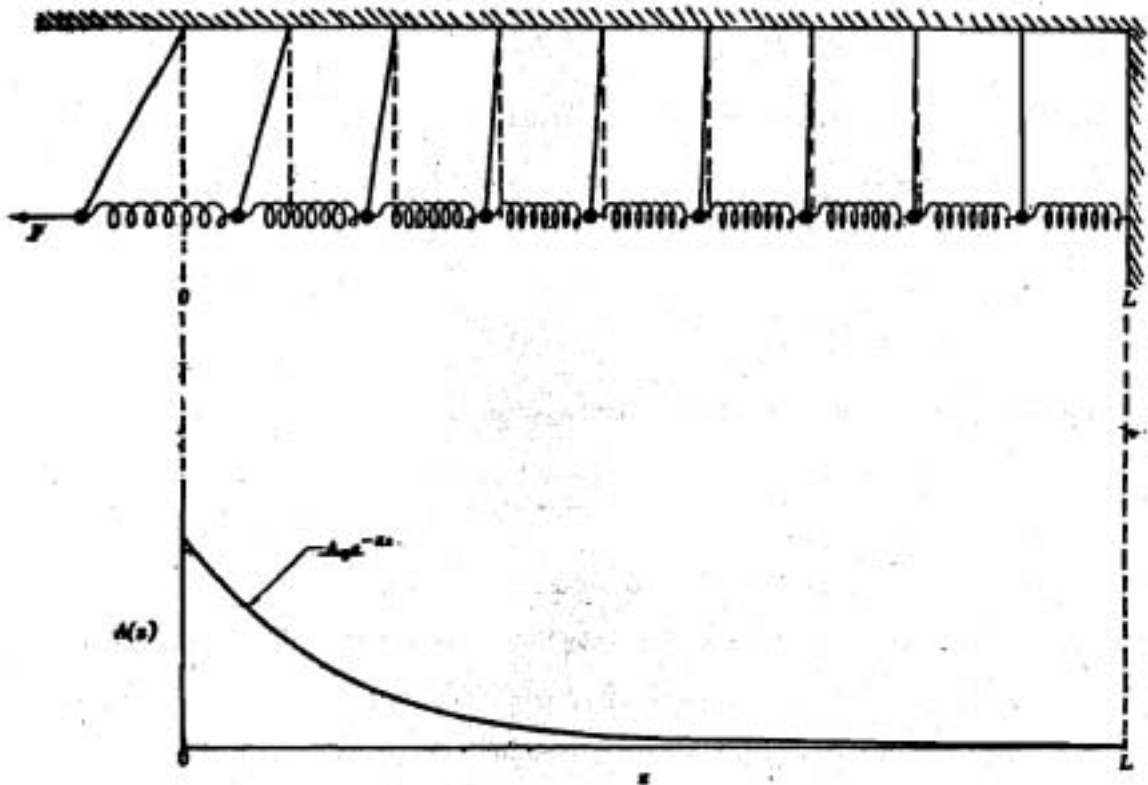
$$\frac{dA(z)}{dz} = -A e^{-\kappa z} + B e^{+\kappa z}$$

$$\frac{d^2 A(z)}{dz^2} = (-\kappa)^2 A e^{-\kappa z} + (\kappa)^2 B e^{+\kappa z} = \kappa^2 A(z)$$

ดังนั้นสมการ (n.6e) เป็นรากของสมการ (n.6e) ค่าคงที่ A และ B พิจารณาจากสภาวะขอบเขต เช่นเดียวกัน ดังนั้นสำหรับ $\omega^2 < \omega_0^2$ รากสมการทั่วไป $\phi(z, t)$ คือ

$$\phi(z, t) = (A e^{-\kappa z} + B e^{+\kappa z}) \cos(\omega t + \phi) \quad (n.6g)$$

สมมติว่าระบบถูกแรงเคลื่อนกระทำที่ตำแหน่ง $z = 0$ สปริงที่ตำแหน่งนี้มีการบิดออกมากที่สุด และขยายไปจาก $z = 0$ ถึง $z = L$ ซึ่งที่ $z = L$ มีสปริงบิดกลับด้วย ดังนั้นถ้าเราให้แรงเคลื่อนกระทำต่อระบบด้วยความถี่ค่าที่ ω ค่าของ $A(z)$ จะมีค่าลดลงเมื่อระยะ z เพิ่มขึ้น ถ้าระบบมีความยาวมาก กล่าวคือ L มีค่ามาก สปริงที่ตำแหน่ง $z = L$ เป็นศูนย์ที่ $z = L$ ถ้าความยาวเป็นอนันต์ สปริงที่ตำแหน่ง $z = L$ นั้นคือพจน์ $B e^{+\kappa z}$ ใน



รูป ๓.๖ ระบบท่อนำคลื่นที่ประกอบด้วยท่อนนำคลื่นที่มีค่าความถี่ต่ำกว่า cutoff ω_0 .
 (a) ลักษณะของท่อนนำคลื่น (b) แยกความถี่ของ $A(z)$.

สมการ (๓.๖๒) ต้องไม่มี หรือ B ต้องเป็นศูนย์ เขียนสมการใหม่เป็น

$$A(z) = A e^{-\kappa z} \quad (๓.๖๓)$$

ดังนั้นสมการ (๓.๖๒) กลายเป็น

$$\psi(x,t) = A(z) \cos(\omega t + \phi) \quad (๓.๖๔)$$

ค่าคงที่ κ เรียกว่า amplitude attenuation constant หรือเรียกสั้นๆ เป็น attenuation constant มีค่าเท่ากับอัตราส่วน amplitude attenuation ต่อหน่วย ความยาวของ $A(z)$ กำหนดเป็น

$$-\frac{1}{A(z)} \frac{dA(z)}{dz} = \kappa \quad \text{เมื่อ } A(z) \text{ ถูกกำหนดด้วยสมการ (๓.๖๓)}$$

ส่วนกลับของ κ เป็นความยาว δ เรียกว่า attenuation length

$$\frac{1}{\kappa} = \delta = \text{attenuation length} \quad (๓.๖๕)$$

มีบางสิ่งบางอย่างที่มีส่วนคล้ายกันระหว่าง attenuation constant κ สำหรับคลื่น เอกซ์โปเนนเชียล และจำนวนคลื่น (wave number) k สำหรับคลื่นรูปไซน์คือ κ เป็นอัตรา ส่วน attenuation ต่อหน่วยระยะทาง k เป็นจำนวนเรเดียนต่อหน่วยระยะทาง หันอง เทียบกับ attenuation length δ และความยาวคลื่น λ มีบางอย่างคล้ายกันคือ δ เป็น ระยะทางสำหรับ attenuation ทั่วแฟกเตอร์ e^{-1} และ λ เป็นระยะทางสำหรับการ เพิ่มขึ้นของเฟสด้วยปริมาณ 2π

ต่อไปเราหาค่าคอมที่แท้จริงของสมการของการเคลื่อนที่ของลูกตุ้มเหล่านั้น โดย เริ่มต้นจากสมการ (๓.๕๐) เขียนใหม่เป็น

$$\ddot{\psi}_n = -\omega_0^2 \psi_n + \frac{K}{M}(\psi_{n+1} - 2\psi_n + \psi_{n-1}) \quad (๓.๖๖)$$

เราสมมติว่าลูกตุ้มทั้งหมดคอซซัสติด อดเป็นแบบฮาร์โมนิกด้วยความถี่และค่าคงที่เฟสเท่ากัน

ดังนั้น
$$\psi_n = A_n \cos(\omega t + \phi) \quad (ก.๖๗)$$

แทนค่าสมการ(๓.๖๗) ลงในสมการ(๓.๖๖) และตัดพจน์เหมือน $\cos(\omega t + \phi)$ ออกจากเราจะ
ได้

$$\begin{aligned} -\omega^2 A_n &= -\omega_0^2 A_n - \frac{2K}{M} A_n + \frac{2K}{M} \left(\frac{A_{n+1} + A_{n-1}}{2} \right) \\ \omega^2 &= \omega_0^2 + \frac{2K}{M} \left(1 - \frac{A_{n+1} + A_{n-1}}{A_n} \right) \end{aligned} \quad (ก.๖๘)$$

ในช่วงความถี่ dispersive การออสซิลเลตเป็นแบบรูปไซน์ ให้เราสมมติค่าคอมเป็น

$$A_n = A \sin kna + B \cos kna$$

ดังนั้น
$$A_{n+1} = A \sin(kna + ka) + B \cos(kna + ka)$$

$$A_{n-1} = A \sin(kna - ka) + B \cos(kna - ka)$$

$$\begin{aligned} A_{n+1} + A_{n-1} &= 2A \sin kna \cos ka + 2B \cos kna \cos ka \\ &= 2 \cos ka (A \sin kna + B \cos kna) = 2 \cos ka A_n \end{aligned}$$

แทนค่าลงในสมการ(๓.๖๘) ได้

$$\omega^2 = \omega_0^2 + \frac{2K}{M} (1 - \cos ka) \quad (ก.๖๙)$$

หรือ
$$\omega^2 = \omega_0^2 + \frac{4K}{M} \sin^2 \frac{ka}{2} \quad (ก.๗๐)$$

ในช่วงความถี่ต่ำกว่า cutoff ω_0 เราคาดคะเนค่าคอมเป็นแบบเอกซ์โปเนนเชียลเหมือนกับกรณีของการประมาณแบบต่อเนื่อง

$$A_n = A e^{-kna} + B e^{+kna}$$

ดังนั้น

$$A_{n+1} + A_{n-1} = (e^{ka} + e^{-ka}) A_n$$

จากสมการ (๓.๖๔) ให้ความสัมพันธ์การกระจายเป็น

$$\omega^2 = \omega_0^2 + \frac{2K}{H} (1 - \frac{1}{2}(e^{ka} + e^{-ka})) \quad (๓.๗๐)$$

สมการ (๓.๗๐) สามารถเขียนให้อยู่ในรูปแบบที่ง่ายเหมือนอย่างสมการ (๓.๖๔) และ (๓.๗๐) โดยใช้ค่าจำกัดความของ hyperbolic cosine จะได้

$$\omega^2 = \omega_0^2 + \frac{2K}{H} (1 - \cosh ka) \quad (๓.๗๑)$$

หรือ
$$\omega^2 = \omega_0^2 - \frac{4K}{H} \sinh^2 \frac{ka}{2} \quad (๓.๗๒)$$

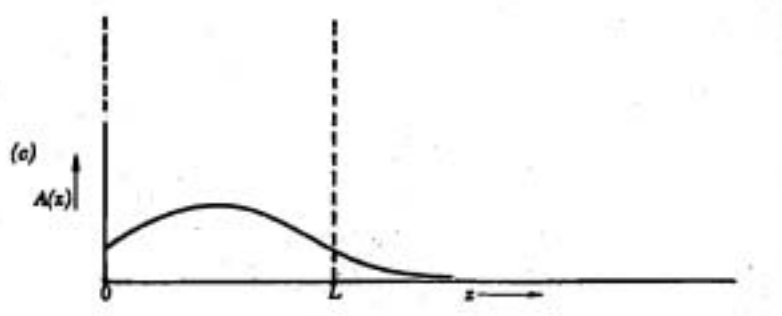
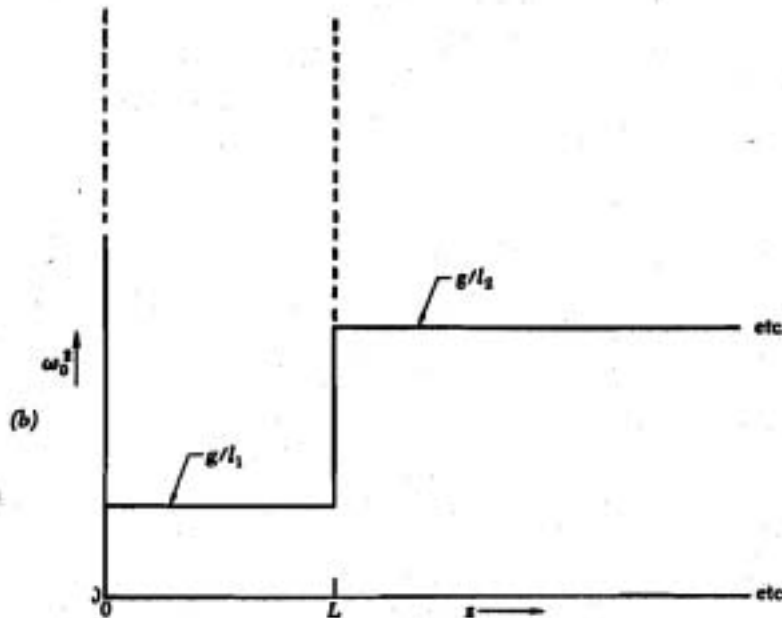
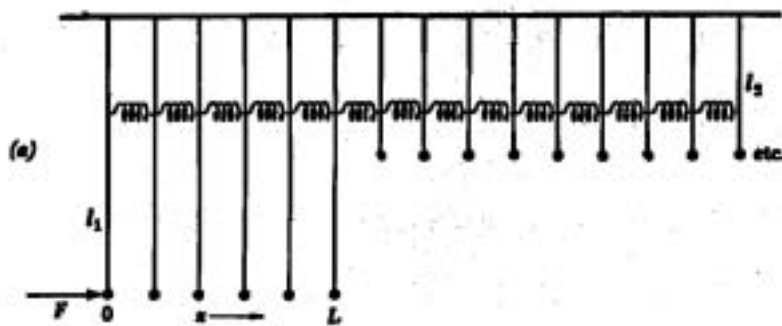
ที่ $\omega = \omega_0$ ค่าของสมการ (๓.๗๐) ให้ค่า $k = 0$ และค่าของสมการ (๓.๗๒) ให้ค่า $k = 0$ ในช่วงความถี่สูงกว่า high-frequency cutoff ω_{\max} เมื่อ $\omega_{\max} = \sqrt{\omega_0^2 + \frac{4K}{H}}$ จากกรณีของการประมาณต่อเนื่อง เราหาได้ว่ามันมีรูปร่างเป็นแบบ zigzag เหมือนกับ mode สูงสุด ดังนั้นเราจะคาดคะเนว่า รูปร่างของ A_n เป็นแบบ exponential zigzag คือ

$$A_n = (-1)^n (Ae^{-kna} + Be^{+kna})$$

เราจะได้
$$A_{n+1} + A_{n-1} = -A_n (e^{ka} + e^{-ka}) \quad (๓.๗๓)$$

จากสมการ (๓.๖๔) ให้ความสัมพันธ์การกระจายคือ

$$\begin{aligned} \omega^2 &= \omega_0^2 + \frac{2K}{H} (1 + \frac{1}{2}(e^{ka} + e^{-ka})) \\ &= \omega_0^2 + \frac{2K}{H} (1 + \cosh ka) \end{aligned}$$

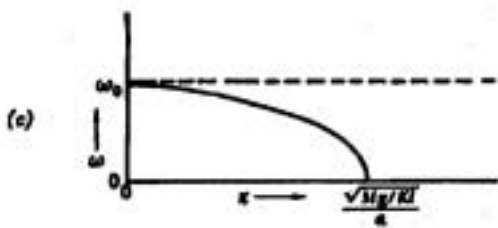
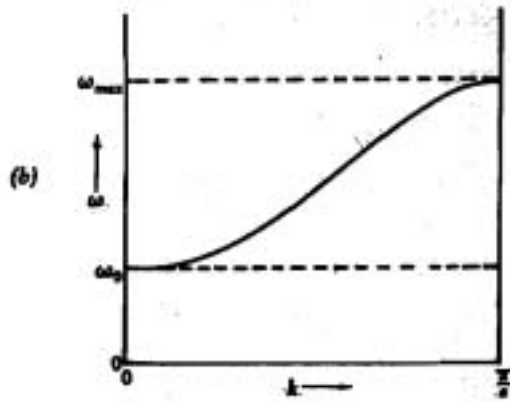
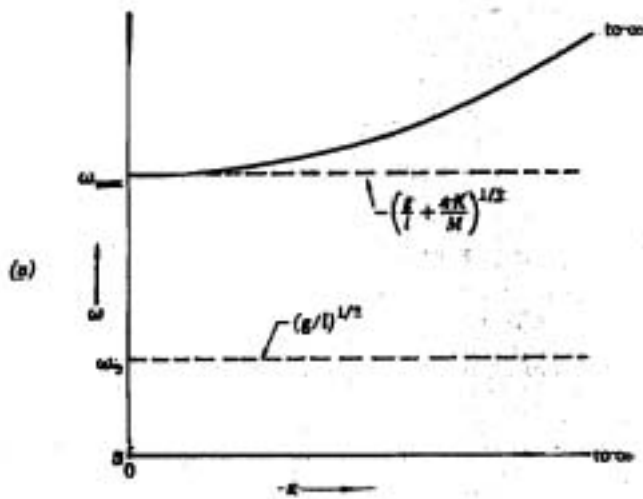


รูป ก.๘ แสดงระบบ
 ถูกตั้งควบคู่ด้วยความถี่
 เปลี่ยนแปลงกระทันหัน
 ω_0^2 ที่ $z = L$
 (a) ถูกตั้งที่ $z = 0$ ถูก
 กระทำด้วยแรงเคลื่อนภาย
 นอก (b) ความสัมพันธ์ของ
 ω_0^2 กับ z . (c) ความ
 สัมพันธ์ระหว่างอิมพีแดนซ์
 $A(z)$ และ z สำหรับแรง
 เคลื่อนความถี่ ω ใกล้กับ
 ความถี่อิมพีแดนซ์ของระบบ

$$\omega^2 = \omega_0^2 + \frac{4K}{M} \cosh^2 \frac{\kappa x}{2} \quad (3.14)$$

$$\text{ที่ } \kappa = 0 \quad \omega^2 = \omega_0^2 + \frac{4K}{M} = \omega_{\max}^2$$

ในรูป 3.4 เราเขียนรูปแสดงความสัมพันธ์การกระจายที่แท้จริงสำหรับทุกความถี่ตาม
สมการ (3.10), (3.13), และ (3.14)



รูป ๓.๔ แสดงความสัมพันธ์
การกระจายทุกช่วงความถี่
(a) ความถี่สูงกว่า high-
frequency cutoff คลื่น
ปรากฏเป็นลักษณะช็อก
(b) ช่วงความถี่ dispersive
คลื่นเป็นรูปไซน์
(c) ความถี่ต่ำกว่า low-
frequency cutoff:
exponential waves.

แบบฝึกหัดที่ ๘

3.1 Plot a diagram of a damped oscillation whose equation is given in the form $x = e^{-0.1t} \sin \frac{\pi}{4} t$ m.

3.2 The equation of damped oscillations is given in the form

$$x = 5 e^{-0.25t} \sin \frac{\pi}{2} t \quad \text{m.}$$

Find the velocity of an oscillating point at the moments of time: 0, T, 2T, 3T, and 4T.

3.3 An equation of undamped oscillations is $x = \sin 2.5\pi t$ cm. Find the displacement from the position of equilibrium, the velocity and the acceleration of a point 20 m away from the source of oscillations for a moment of $t = 1$ s after the oscillations begin. The oscillations propagate with a velocity of 100 m/s.

3.4 Verify that the solution

$$x = (A + Bt)e^{-rt/2m}$$

satisfies the equation

$$m\ddot{x} + r\dot{x} + Kx = 0$$

when

$$r^2/4m^2 = K/m.$$

3.5 Show that the boundary condition $x = A \cos \phi$ at $t = 0$ imposed upon the general solution

$$x = e^{-rt/2m} (C_1 e^{i\omega't} + C_2 e^{-i\omega't})$$

for damped simple harmonic motion, requires

$$C_1 = \frac{A}{2} e^{i\phi} \quad \text{and} \quad C_2 = \frac{A}{2} e^{-i\phi}$$

3.6 A capacitance C with a charge q_0 at $t = 0$ discharges through a resistance R . Use the voltage equation $q/C + IR = 0$ to show that the relaxation time of this process is RC seconds, that is,

$$q = q_0 e^{-t/RC}$$

(Note that t/RC is non-dimensional.)

3.7 The equation $m\ddot{x} + Kx = F_0 \sin \omega t$ describes the motion of an undamped simple harmonic oscillator driven by a force of frequency ω . Show, by solving the equation in vector form, that the steady state solution is given by

$$x = \frac{F_0 \sin \omega t}{m(\omega_0^2 - \omega^2)} \quad \text{where} \quad \omega_0^2 = \frac{K}{m}$$

Sketch the behaviour of x versus ω and note that the change of sign as ω passes through ω_0 defines a phase change of π radians in the displacement.

Now show that the general solution for the displacement is given by

$$x = \frac{F_0 \sin \omega t}{m(\omega_0^2 - \omega^2)} + A \cos \omega_0 t + B \sin \omega_0 t$$

where A and B are constant.

3.8 In problem 3.7, if $x = \dot{x} = 0$ at $t = 0$ show that

$$x = \frac{F_0}{m} \frac{1}{(\omega_0^2 - \omega^2)} \left(\sin \omega t - \frac{\omega}{\omega_0} \sin \omega_0 t \right)$$

and by writing $\omega = \omega_0 + \Delta\omega$ where $\Delta\omega$ is small, show that, near resonance,

$$x = \frac{F_0}{2m\omega_0^2} \left(\sin \omega_0 t - \omega_0 t \cos \omega_0 t \right)$$

Sketch this behaviour, noting that the second term increases with time, allowing the oscillations to grow (resonance between free and forced oscillation).

3.9 An alternating voltage, amplitude V_0 is applied across an LCR series circuit. Show that the voltage at current resonance across either the inductance or condenser is QV_0 .

3.10 Show that in resonant LCR series circuit the maximum potential across the condenser occurs at a frequency $\omega = \omega_0(1 - 1/2Q_0^2)^{1/2}$ where $\omega_0^2 = (LC)^{-1}$ and $Q_0 = \omega_0 L/R$.

3.11 See Eq. (3.10) and fill in the algebraic step omitted in obtaining the result $E = E_0 e^{-t/\tau}$.

3.12 Show by direct substitution that $x_1(t)$ as given by Eq. (3.3) is a solution of the damped harmonic oscillator equation of motion, Eq. (3.2).

3.13 Show that if $x_1(t)$ is a solution of Eq. (3.1) for a driving force $F_1(t)$, and if $x_2(t)$ is the solution for a different driving force $F_2(t)$, then the force $F(t) = F_1(t) + F_2(t)$ gives the solution $x(t) = x_1(t) + x_2(t)$, provided that the initial conditions $x(0)$ and $\dot{x}(0)$ for the superposition are also the corresponding sums of the initial conditions, i.e., provided $x(0) = x_1(0) + x_2(0)$ and $\dot{x}(0) = \dot{x}_1(0) + \dot{x}_2(0)$.

3.14 Show by substitution that Eq. (3.14), (3.15), and (3.16), give a solution to Eq. (3.13).

3.15 Verify Eq. (3.21) for the power loss due to friction. Verify that it is equal to the input power as given by Eq. (3.20).

3.16 Verify that the time-averaged stored energy E for steady-state oscillation is given by Eq. (3.22).

3.17 Verify that the half-power points for the steady-state resonance curve are given by Eqs.(3.24) and (3.25).

3.18 Show that Eq.(3.30) give the exact steady-state solution to the driven oscillator equation (3.13), for the case where the damping constant Γ is zero.

3.19 Show that if the pendulums of Fig. 3.4 are coupled by slinkies, they have the same equations of motion for transverse horizontal oscillation as they do for the longitudinal motion shown.

3.20 Sketch a system of inductances and capacitance that has equations of motion similar in form to Eq.(3.50), and derive their equations of motion.

3.21 Assume the ionosphere starts suddenly at a boundary, at which the cutoff frequency ν_p suddenly increases from zero to 20 Mc. Find the amplitude attenuation distance δ for AM radio waves of frequency 1000 Kc.

Ans. About 2.5 meters, independent of frequency, as long as the frequency is far below cutoff.

3.22 Using the coupled pendulums as a guide, write down the complete dispersion relation for analogous system of coupled inductance and capacitances. We want the dispersion law in the pass band and in the two cutoff regions of frequency.

3.23 Show that, if we use the weak-damping approximation and if we stay reasonably near a resonance, the absorptive and elastic amplitudes can be written (with a suitable choice of units) in the form

$$A_{ab} = \frac{1}{x^2 + 1}, \quad A_{el} = \frac{-x}{x^2 + 1}.$$

where $x = (\omega - \omega_0)/\frac{1}{2}\Gamma$.

3.24 Suppose we have a system with two resonances at frequencies ω_1 and ω_2 which make equal contributions to the elastic amplitude of some moving part. For ω far from both ω_1 and ω_2 , we can write (in some units or other)

$$A_{el} = \frac{1}{\omega_1^2 - \omega^2} + \frac{1}{\omega_2^2 - \omega^2}.$$

Show that, if ω differs from ω_1 and ω_2 by much more than their difference $\omega_2 - \omega_1$, then A_{el} is (to a good approximation) just twice as large as either of the two contributions. That is, show that

$$A_{el} = \left(\frac{2}{\omega_{av}^2 - \omega^2} \right) (1 + \epsilon^2 + \dots),$$

where

$$\omega_{av}^2 = \frac{1}{2}(\omega_1^2 + \omega_2^2), \quad \epsilon = \frac{1}{2} \frac{(\omega_1^2 - \omega_2^2)}{\omega_{av}^2 - \omega^2}.$$

3-25 Critical damping. Starting with the equation for the underdamped free oscillations, Eq. (3.7), show that for critical damping the solution becomes

$$x_1(t) = e^{-(\frac{1}{2})\Gamma t} \{ x_1(0) + [\dot{x}_1(0) + \frac{1}{2}\Gamma x_1(0)] t \}.$$

Show that this same result is obtained if you start instead with the equation for overdamped oscillations, Eq. (3.9).

3.26 Coupled pendulums. Consider a linear array of coupled pendulums driven below cutoff at $z = 0$ and attached to a rigid wall at $z = L$, as shown in Fig. 3.5. Show that if $\psi(z, t)$ equals $A_0 \cos \omega t$ as $z = 0$, then $\psi(z, t)$

= $A(z) \cos \omega t$, where

$$A(z) = A_0 \frac{[e^{-\kappa z} - e^{-\kappa L} e^{-\kappa(L-z)}]}{1 - e^{-2\kappa L}}$$

Notice that for $L \rightarrow \infty$ this becomes simply $A_0 e^{-\kappa z}$.